

(121) スラグの水浸膨脹特性に関する検討

(転炉スラグのエージング安定化に関する研究—I)

新日鐵 君津製鐵所 ○土屋 桂 長島武雄 河本敬之

本社 山田容三

I 緒言 転炉スラグを路盤材などの土木用材料として使用する場合、その膨脹性の制御が必要になる。この膨脅性を測定する方法として種々の方法が提案されているが、実用条件に最も近いとされる CBR モールドによる水浸膨脅試験を取り上げ、エージング転炉スラグの膨脅特性を調査した。今回水浸時の膨脅特性について若干の知見を得たので報告する。

II 転炉スラグ水浸時の膨脅速度 一般に転炉スラグの膨脅崩壊は、 $f-CaO$ の水和及び炭酸化が主因であるとされている。CBR 水浸膨脅試験における膨脅速度を一次反応式で整理できると仮定した。

供試スラグの体積を V_0 、膨脅が平衡に達した時の体積（最終膨脅量）を V_e 、水浸試験開始後 t 時における体積を V とし、 t 時における供試スラグ中の膨脅反応に関与しうる物質の残存量は、 $(V_e - V)$ に比例するとすると初期条件 ($t = 0$ 、 $V = V_0$) を入れて次式を得る。

$$\log \left(\frac{V_e - V_0}{V_e - V} \right) = k t$$

ここに、 k は見かけの反応速度定数である。

この関係によつて各種野積エージングスラグの CBR 水浸試験データを整理した。原鉱スラグの化学成分を表 1 に示す。

表 1 各種スラグの化学成分（原鉱） (%)

成分 種類	CaO	SiO ₂	Al ₂ O ₃	MgO	TiO ₂	MnO	FeO	Fe ₂ O ₃	T-Fe	P ₂ O ₅	f-CaO	CaO/SiO ₂
A	42.5	11.8	1.19	7.0	1.25	5.7	15.88	12.50	21.08	2.04	3.50	3.60
B	46.0	11.9	1.17	7.2	1.16	4.9	14.30	11.05	18.85	2.12	8.90	3.87
C	43.0	14.0	1.33	7.0	1.36	5.7	14.23	10.98	18.74	2.13	9.20	3.07
D	36.4	15.4	3.67	6.2	1.39	7.0	21.20	6.88	21.29	1.79	6.10	2.36

(f-CaO は TBP 法による)

III 水浸膨脅量

- 各種スラグの膨脅量と水浸日数の関係を図 1 に示す。これらを上式で整理すると図 2 が得られる。良い直線性を示し、膨脅反応は、見かけ上一次反応式で表わせることを示している。
- B スラグのエージング歴別膨脅量の変化を図 3 に示す。エージングによりスラグの V_e は小さくなる。また見かけの反応速度定数は、エージング歴が長くなると大きくなり、 V_e の小さいものが大きくなっている。 k は水浸中は変わらないがエージングによつて変化し、水浸とエージングで現象が異なることを示す。
- エージングによる効果は、反応可能物（主に $f-CaO$ と考えられる）の減少、すなわち最終膨脅量の減少と見かけの反応速度の上昇である。見かけの反応速度の上昇は、 $f-CaO$ によるクラックの発生、それと共に、スラグ粒中反応可能物の表面積の増大によるものと考えられる。

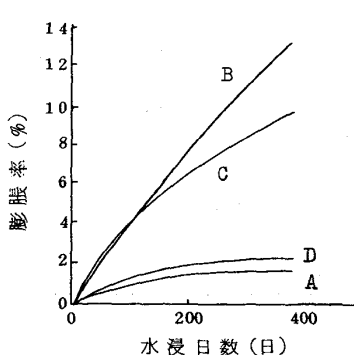


図 1 水浸膨脅量の経時変化

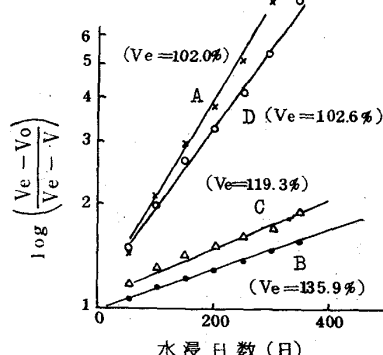
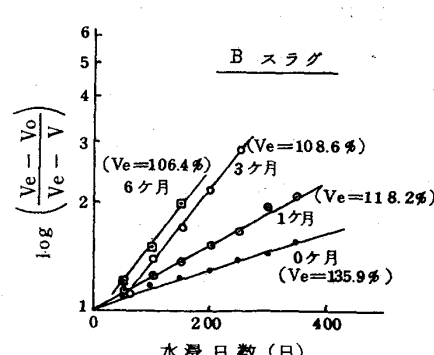
図 2 膨脅量の変化
(片対数による整理)

図 3 エージング歴別膨脅特性の変化